

تهیه و شناسایی نانو سیال‌های حاوی کربنی اصلاح شده با اکسیدهای معدنی، سدیم دودسیل سولفات و نانوذرات مغناطیسی و مقایسه ضریب هدایت حرارتی آن‌ها

محمدحسین آقابزرگ^{۱*} | علیرضا رشیدی^{۲*}

۱. گروه مکاترونیک، دانشگاه علوم و تحقیقات دانشگاه آزاد اسلامی، کرمانشاه، ایران

۲. مرکز تحقیقات نانو فناوری، پژوهشگاه صنعت نفت، تهران، ایران

چکیده

۱. مقدمه

بیشترین تحقیقات روی هدایت حرارتی نانو سیال‌الات، در زمینه سیالات حاوی نانوذرات اکسید فلزی انجام شده است استفاده از نانوذرات اکسیدهای فلزی برای افزایش ضریب هدایت حرارتی سیال پایه در تجهیزات انتقال گرما مورد توجه بسیاری از محققان بوده است. همچنین تحقیقات انجام شده بر روی نانو سیالات حاوی اکسیدهای فلزی مربوط به اکسیدهای آلومینیم، تیتانیم و مس می‌باشد ولی در خصوص مقدار ضریب هدایت حرارتی نانو سیال مغناطیسی هیبرید نانولوله‌های کربنی-اکسید آهن (Fe₃O₄-CNT) بر پایه سیال آبی، تحقیقی صورت نگرفته است. انتخاب نانوذرات اکسید آهن به این دلیل است که اکسید آهن در آب در مقایسه با اکسیدهای آلومینیوم، تیتانیوم، روی و مس ماکزیمم افزایش هدایت حرارتی را از خود نشان می‌دهد [۱].

اما در تحقیقات صورت گرفته توسط پژوهشگران در خصوص نانوذرات اکسید فلزی، ماسودا و همکارانش [۲]، افزایش ۳۰ درصدی هدایت گرما را با افزودن ۴/۳ درصد حجمی آلومینیا به آب گزارش کرده‌اند.

لی و همکارانش [۳]، افزایش ۱۵ درصدی را برای همین نوع نانو سیال با همین درصد حجمی گزارش کرده است که تفاوت این نتایج را ناشی از تفاوت در اندازه نانوذرات به کار رفته در دو تحقیق می‌داند. قطر متوسط ذرات آلومینیا به کار رفته در آزمایش اول ۱۳ نانومتر و در آزمایش دوم ۳۳ نانو متر بوده است. همچنین لی بر روی هدایت گرمای نانو سیالات حاوی نانوذرات اکسید مس انجام داد که در مقایسه با نانوذرات آلومینیا بهبود نسبتاً کمتری را برای ضریب هدایت حرارتی مشاهده کرد.

در این پژوهش برای بررسی و مقایسه شرایط بهبود ضریب هدایت حرارتی نانو سیال مغناطیسی با دیگر نانو سیالات، سه نمونه نانو سیال عاملدار، نانو سیال با ماده فعال سطحی و نانو سیال مغناطیسی با استفاده از هیبرید نانولوله کربنی-اکسید آهن برای درصد های وزنی ۱٪، ۱۵٪، ۲۰٪ و ۳۰٪ که همگی زیر ۱٪ هستند در آب مقطربه عنوان سیال پایه تهیه شد. ابتدا برای نانو سیال عاملدار، نانولوله‌های کربنی چند دیواره به روش اکسیداسیون اسیدی با گروه عاملی کربوکسیل عاملدار شد، سپس تهیه نانو سیالات با ماده فعال سطحی سدیم دو دسیل سولفات (SDS) صورت گرفت و برای نانو سیال مغناطیسی ابتدا سنتز نانوذرات مغناطیسی هیبریدی CNT-Fe₃O₄ با بکارگیری فروسن و تولوئن انجام و درصدهای مختلف وزنی نانو سیال مغناطیسی تهیه شدند. برای اولین بار در میان سنتز شده با روش TEM شناسایی شدند. برای اولین بار در میان تمامی پژوهش‌های صورت گرفته تاکنون، ساخت و استفاده از نانوذرات مغناطیسی هیبریدی CNT-Fe₃O₄، انجام شده است. ضریب هدایت حرارتی نمونه‌های تهیه شده با دستگاه KD2 برای سه دمای ۲۵، ۳۵ و ۴۵ درجه سانتیگراد اندازه‌گیری شد. نتایج نشان دادند که برای درصد های وزنی زیر یک درصد، با افزایش دما و افزایش درصد نانو سیالات مغناطیسی در مقایسه با دو روش دیگر، افزایش ضریب هدایت حرارتی بیشتری را حاصل کرد.

واژگان کلیدی: ضریب هدایت حرارتی، نانوذرات اکسید آهن، نانو سیالات مغناطیسی، نانولوله‌های کربنی، هیبرید.

هیبرید اکسید آهن-نانولوله کربنی به عنوان نانو سیال در مقایسه با دیگر پژوهش ها استفاده شده است. از طرفی دیگر از آنجا که نانو سیالات مغناطیسی به طور همزمان خواص سیال و مغناطیس را نشان می دهند، در صورت لزوم می توان نانوذرات مغناطیسی را با ایجاد یک میدان مغناطیسی به راحتی از سیال جدا کرد.

۲. بخش تجربی

در این پژوهش سه نمونه نانو سیال عاملدار شده، نانو سیال با ماده فعال سطحی و نانو سیال مغناطیسی تهیه و از لحاظ میزان ضریب هدایت حرارتی با یکدیگر در دمایا و درصد های وزنی مختلف مقایسه و در جداول و نمودارها مورد بررسی قرار گرفتند.

۱.۲. روش تهیه نانو سیال عاملدار شده

برای عاملدار کردن مناسب ۱۰ گرم نانولوله های کربنی چند دیواره (MWCNT)، ابتدا ۳۰۰ میلی لیتر سولفوریک اسید (H_2SO_4) و پس از آن ۱۰۰ میلی لیتر نیتریک اسید (HNO_3) افزوده شد. نانو سیال آماده شده برای پراکنده سازی، (Dispersion مناسب ذرات در سیال، داخل حمام اولتراسونیک تحت دمای اتاق با توان ۱۰۰ وات (Ultrasonic cleanser) KQ2200DE به مدت ۳ ساعت قرار گرفت. بعد از پراکنده سازی نانو سیال با مخلوط بخ و آب مقطر شستشو داده شد تا pH نانو سیال به عدد ۷ برسد. همچنین برطبق روش گفته شده، شرایط برقراری پیوندها بر روی نانولوله ها با طیف IR مورد بررسی قرار گرفته است [۸].

از سویی دیگر با عاملدار کردن، سوسپانسیون نانولوله های کربنی پایداری خوبی در سیال پایه آب بدست می آورند و این به دلیل تعییر طبیعت آب گریز به آبدوست است که ناشی از تولید گروه هیدروکسیل است. درصد های وزنی استفاده شده ۰/۱٪، ۰/۱۵٪، ۰/۲٪ و ۰/۳٪ برای اندازه گیری هدایت حرارتی توسط دستگاه KD2 طبق فرمول زیر بدست آمدند

$$\frac{\text{مقدار نانوذره}}{\text{مقدار نانو سیال}} \times 100 = \text{مقدار درصد وزنی} \quad (1)$$

$$\text{مقدار نانو سیال} = \text{مقدار نانوذره} + \text{سیال پایه} \quad (2)$$

در حالی که ونگ و همکارش [۴] مقدار ۱۷ درصد افزایش هدایت گرما را برای فقط ۴٪ درصد حجمی از نانوذرات اکسید مس در آب گزارش کرده اند. برای نانو سیال با پایه اتیلن گلیکول، افزایش بالای ۴۰ درصد برای ۳٪ درصد حجمی مس با متوسط قطره نانومتر گزارش شده است.

اما برای نانو ذرات اکسید آهن نتایج حاصل از پژوهش دانشمندان اینگونه بود:

زای و همکارانش [۵] افزایش ۳۴ درصدی نانو ذرات مغناطیسی Fe_3O_4 در نفت سفید که با الکلیک اسید پوشش داده شده اند را را برای ۱ درصد حجمی گزارش کرده اند. پارخ و لی [۶] نیز در کاری مشابه با زای و همکارانش، افزایش ۳۰٪ هدایت حرارتی با کسر حجمی ۴/۷٪ تحت میدان مغناطیسی عرضی را مشاهده کردند. دلیل اختلاف نتایج بدست آمده را می توان به تفاوت شرایط ساخت نانو سیالات نسبت داد که یکی از این موارد، تغییر دما و مدت زمان گرم کردن است.

یو و همکاران [۷]، نفت سفید را بر اساس نانو سیال Fe_3O_4 و اسید اولئیک بررسی کردند و افزایش ۳۴ درصدی هدایت حرارتی را برای کسر حجمی ۱٪ با ذرات متوسط به اندازه ۱۵۵ نانومتر تحت گستره دمایی ۱۰ تا ۶۰ درجه سانتی گراد بدست آوردند.

هدف از این تحقیق، بررسی ضریب هدایت انتقال حرارت نانو اکسید آهن در سیال آبی (نانو سیال مغناطیسی) به منظور بهبود انتقال حرارت بود بنابراین نانو سیالات حاوی نانو ذرات اکسید آهن در سیال پایه آبی با غلظت های حجمی مختلف ساخته و پارامترهای تأثیر درصد وزنی نانو ذرات بر روی میزان افزایش هدایت حرارتی نانو سیال و بررسی بهترین درصد وزنی برای بیشترین ضریب هدایت حرارتی، همچنین اثر درصد های وزنی و تأثیر دما در سه حالت نانو سیال عاملدار، نانو سیال با ماده فعال سطحی و نانو سیال مغناطیسی بر روی ضریب هدایت حرارتی و مقایسه نمونه ها مورد بررسی قرار گرفت.

از طرفی دیگر همان گونه که مشاهده شد در پژوهش های صورت گرفته تمامی درصد های وزنی بالای ۱٪ هستند، در حالیکه در این پژوهش درصد های وزنی ۰/۱٪، ۰/۱۵٪، ۰/۲۰٪ و ۰/۳۰٪ مورد بررسی قرار گرفتند که همگی کمتر از ۱٪ درصد وزنی می باشند و بر این اساس میزان افزایش هدایت حرارتی برای درصد های وزنی کم مورد بررسی قرار گرفت. همچنین برای نخستین بار از

صورت پذیرفت. برای انجام این کار فروسن به عنوان یک منبع کاتالیستی و تولوئن به عنوان منبع کربنی استفاده شدند. غلظت فروسن در تولوئن $2/5\%$ و دمای تنظیم شده کوره هم 1000 درجه سانتیگراد در نظر گرفته شد. پس از آن که دمای کوره به تعادل رسید، گاز حامل نیتروژن (N_2) به مدت 10 دقیقه قبل از آغاز واکنش، به منظور حذف هوا و ایجاد جو نیتروژن از داخل کوره عبور داده شد. نیتروژن وارد ظرف فلاسک شد و سپس شیر باز شد تا مخلوط تولوئن و فروسن از نازل اسپری عبور کند. مخلوط نیتروژن/فروسن/تولوئن بدون هیچ گونه حرارت دادنی با نرخ جریان $2/5$ میلی لیتر/دقیقه به داخل راکتور از جنس استیل 310 پاشیده شد. خروجی راکتور به حباب ساز گاز وصل بود. پس از تشکیل رسوب، کوره خاموش شد و تحت جریان نیتروژن تا دمای محیط خنک شد. پس از آن، فیلم سیاه تشکیل شده از هیبرید $CNT-Fe_2O_3$ بر روی سطح داخلی راکتور، جمع آوری شد. نانوسیال مغناطیسی با درصد های وزنی $1/15\%$ ، $2/15\%$ ، $3/15\%$ و $4/15\%$ درآب مقطر تهیه شد. جدول ۳ نحوه تهیه هر درصد وزنی بزای نانوسیال مغناطیسی را نشان می دهد.

(۴)

مقدار نانوسیال مغناطیسی = مقدار نانولوله کربنی + مقدار فعال سطحی + سیال پایه

$$\text{مقدار نانوذره مغناطیسی} = \frac{\text{مقدار درصد وزنی}}{\text{مقدار نانوسیال مغناطیسی}} \times 100 \quad (5)$$

جدول ۳ داده‌های آزمایشگاهی نانوسیال مغناطیسی در درصدهای وزنی مختلف

نمونه	مقدار درصد وزنی	مقدار نانوذره مغناطیسی *	مقدار ماده فعال سطحی (ترپلیمر)	مقدار نانوسیال مغناطیسی (g)
۱	%/۱۰	٪/۰.۵	٪/۰.۵	۵۰
۲	%/۱۵	٪/۰.۷۵	٪/۰.۷۵	۵۰
۳	%/۲۰	٪/۰.۱۰	٪/۰.۱۰	۵۰
۴	%/۳۰	٪/۰.۱۵	٪/۰.۱۵	۵۰

لازم به ذکر است به علت آنکه پلیمر (Acumer-۳۱۰۰) مقاومت بهتری در مقابل فشار و دما دارد و از سوی دیگر دارای سه گروه عاملی نسبت به سدیم دودسیل سولفات (SDS) است، بنابراین برای جلوگیری از خوشه ای شدن ذرات و پایداری و پراکندگی بهتر نانو ذرات اکسید آهن سیال پایه آب و همین طور حفظ خاصیت مغناطیسی ذرات از ترپلیمر برای ساخت نانوسیال

جدول ۱ داده‌های آزمایشگاهی نانوسیال عاملدار شده در درصدهای وزنی مختلف (سیال پایه آب)

نمونه	مقدار درصد وزنی	مقدار نانوذره عاملدار شده	مقدار نانوسیال (g)
۱	%/۱۰	٪/۰.۵	۵۰
۲	%/۱۵	٪/۰.۷۵	۵۰
۳	%/۲۰	٪/۰.۱۰	۵۰
۴	%/۳۰	٪/۰.۱۵	۵۰

۲۰. روش تهیه نانوسیال با ماده فعال سطحی

برای تهیه نانوسیالات آب/نanolوله کربنی از سورفکتانت سدیم دو دسیل سولفات (SDS) استفاده شد. مزیت استفاده از ماده فعال سطحی در آن است که پوشش لازم را برای ایجاد نیروهای دافعه الکترواستاتیک و جبران نیروهای جاذبه واندروالس بین ذرات را فراهم می کند [۷]. نحوه آماده سازی این مرحله بدین گرم رسانده شد. با توجه به هر کدام از درصدهای وزنی مورد نیاز مقادیر سورفکتانت و نanolوله کربنی انتخاب و محاسبه شد. لازم به ذکر است برای نسبت سورفکتانت به نانو ذره با توجه به آنکه نسبت ۱ به ۱ و حتی ۲ به ۱ منجر به پایداری نشد، لذا از نسبت ۳ به ۱ که پایداری خوبی ایجاد کرد، استفاده شد.

داده‌ها و مقادیر محاسبه شده با توجه به فرمول زیر در جدول ۲ آمده است.

۳) مقدار نانوسیال = مقدار نanolوله کربنی + مقدار فعال سطحی + سیال پایه

جدول ۲ داده‌های آزمایشگاهی نانوسیال با ماده فعال سطحی در درصدهای وزنی مختلف

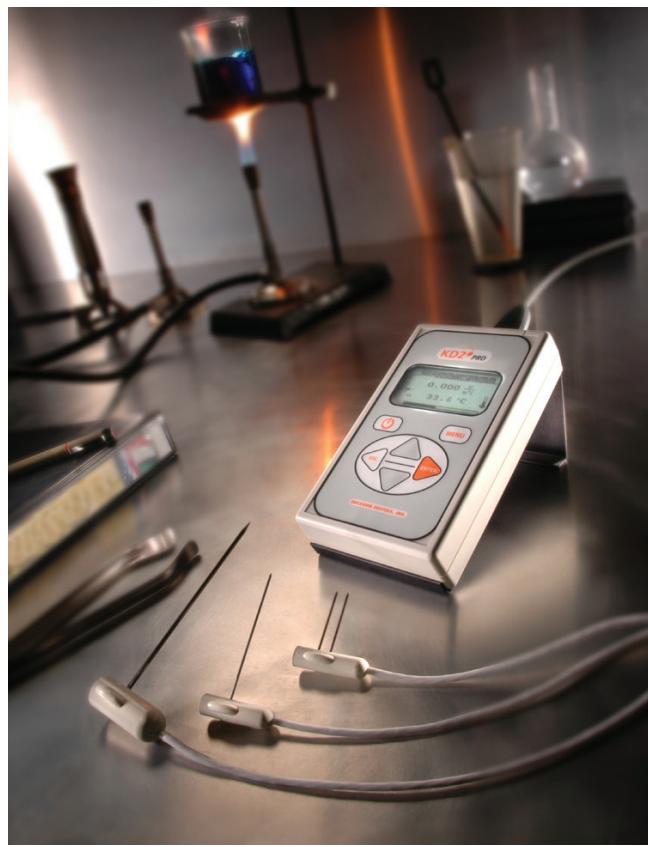
نمونه	مقدار درصد وزنی	مقدار نانوذره درصد وزنی	مقدار نانولوله کربنی (g)	مقدار ماده فعال سطحی (SDS سولفات)	مقدار نانوسیال (g)
۱	%/۱۰	٪/۰.۱	٪/۰.۳۰	٪/۰.۳۰	۱۰۰
۲	%/۱۵	٪/۰.۱۵	٪/۰.۴۵	٪/۰.۴۵	۱۰۰
۳	%/۲۰	٪/۰.۲۰	٪/۰.۶۰	٪/۰.۶۰	۱۰۰
۴	%/۳۰	٪/۰.۳۰	٪/۰.۹۰	٪/۰.۹۰	۱۰۰

*نسبت سورفکتانت به نانوذره : ۱ به ۳

۳۰. ۲. روش سنتز و تهیه نانوسیال مغناطیسی:

مرحله سوم تهیه نانوسیال مغناطیسی صورت گرفت که ابتدا سنتز نانو هیبرید $CNT-Fe_2O_3$ (اکسید آهن - نanolوله کربنی)

یکی از عامل‌های ناپایداری این نوع نانو سیالات باشد. بنابراین، برای پایداری سامانه، این گونه نانو سیالات بایستی به دور از میدان‌های خارجی به کار گرفته شود و صرفاً برای جداسازی نانو ذرات مغناطیسی از سیال می‌توان از میدان‌های مغناطیسی یا از آهنرباها خاص استفاده نمود. اندازه‌گیری هدایت حرارتی با استفاده از دستگاه KD2 Pro (Decagon Devices) صورت گرفت که این دستگاه از روش سیم داغ حالت ناپایدار استفاده می‌کند. دستگاه KD2 Pro سه سنسور مختلف دارد. در این پروژه از سنسور ۶ سانتی‌متری استفاده شده است.



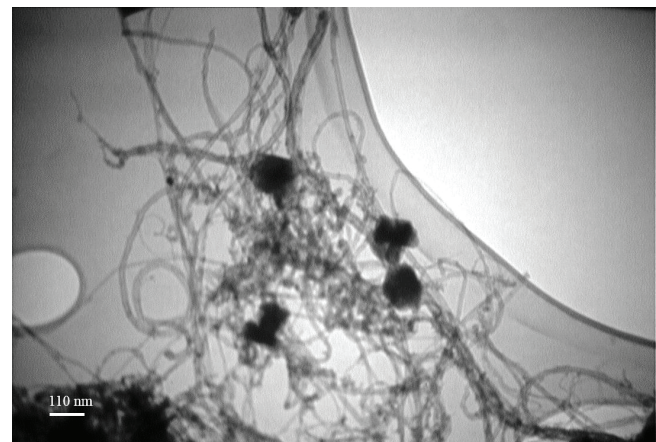
شکل ۲ دستگاه اندازه‌گیری هدایت حرارتی KD2 Pro

در این روش با استفاده از سیرکولاتور (Julabo F12-ED) که به منظور خنک سازی استفاده شد، سوزن سنسور دستگاه KD2 داخل ظرف مخصوص نمونه نانو سیال قرار گرفت و با توجه به دماهای انتخاب شده میزان هدایت حرارتی در فواصل معین اندازه‌گیری شد، این مراحل اندازه‌گیری برای درصد های وزنی و دماهای انتخابی ۳ مرتبه تکرار شد و برای هر کدام از درصد های وزنی ۱۰ تا ۱۵ بار کار اندازه‌گیری صورت پذیرفت و میانگین اعداد اندازه‌گیری شده ضرایب هدایت حرارتی محاسبه و به عنوان عدد نهایی درصد وزنی معین در دمای مشخص گزارش شده است.

مغناطیسی استفاده شد. در حالیکه برای حالت نانو سیال با ماده فعال سطحی، چون ذرات مغناطیسی وجود نداشت از ماده فعال سطحی SDS استفاده شده است.

۳. نتایج و بحث

در شکل ۱ تصاویر نانو ذرات مغناطیسی سنتز شده نمایش داده شده است. همان طور که مشاهده می‌شود نانو ذرات مغناطیسی به صورت نقاط تیره بر روی نانولوله‌های کربنی قرار گرفته اند. با توجه به این تصویر اندازه نانو ذرات مغناطیسی در حدود ۲۰ نانومتر برآورد می‌شود.



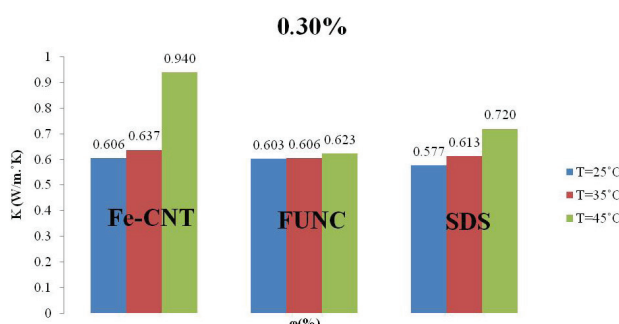
شکل ۱ تصویر TEM نانوذرات مغناطیسی سنتز شده

همچنین برای بررسی پایداری نانو سیال مغناطیسی (Fe-CNT) یکی از مهمترین روش‌های یافتن کیفیت پایداری نانو سیال مغناطیسی از طریق رفتار الکتروفورتیک (حرکت ذرات یک محلول کلوئیدی بر اثر جریان الکتریسیته) آن است. بر اساس یک تئوری پایداری، اگر پتانسیل زتا دارای مقدار مطلق بالایی باشد، دافعه الکتروستاتیک بین ذرات افزایش می‌یابد. که این منجر به پایداری خوب سوسپانسیون می‌شود. ذراتی که بار سطحی بالایی دارند تمایلی به تشکیل خوش ندارند. میزان پتانسیل زتا نانو سیال مغناطیسی با ماده فعال سطحی تر پلیمر در آب، با دستگاه زتا پتانسیل مورد اندازه‌گیری قرار گرفت. عموماً یک سوسپانسیون با پتانسیل زتابی بالاتر از 30 ± 30 میلی ولت با پایداری خوب ارزیابی می‌گردد. پتانسیل زتابی نانو سیال اکسید آهن در حضور ماده فعال سطحی تر پلیمر برابر $35/3$ میلی ولت است که دلیل بر پایداری آن می‌باشد. مقدادر کم تراز قدر مطلق ۳۰ میلی ولت دلیل بر ناپایداری و یا پایداری کم نانو سیال بوده و نانوذرات به سهولت در سیال پایه آب رسوب می‌نمایند. بدیمه است که به کارگیری میدان‌های مغناطیسی خارجی می‌تواند

جدول ۵ داده های سه حالت نانو سیال با سور فکتانت، نانو سیال عامل دار شده و نانو سیال مغناطیسی در سه دمای ۳۵، ۲۵ و ۴۵ درجه سانتیگراد برای درصد وزنی ۰/۳۰

CNT-Fe ₂ O ₃ (W/m.K)	FUNC (W/m.K)	SDS (W/m.K)	T (°C)-(%0.30)
۶۰/۶	۰/۶۰۳	۰/۵۷۷	۲۵
۶۳۷/۰	۰/۶۰۶	۰/۶۱۳	۲۵
۹۴۰/۰	۰/۶۲۳	۰/۷۷۰	۴۵

نمودار ۱ مقایسه جدول بالا را به خوبی نشان می دهد.



نمودار ۱ نمودار ضریب هدایت حرارتی برای نمونه دارای درصد وزنی ۰/۳۰ برای سه حالت نانو سیال با سور فکتانت، نانو سیال عامل دار شده و نانو سیال مغناطیسی در سه دمای ۳۵، ۲۵ و ۴۵ درجه سانتیگراد (ضریب هدایت حرارتی بر حسب K/W/m)

با بررسی نتایج در می یابیم که در حالت ۳۰٪ درصد وزنی بیشترین ضریب هدایت حرارتی در حالت نانو سیال مغناطیسی برای دمای ۴۵ درجه اتفاق افتاده است. می توان علت را اینگونه نتیجه گرفت که با افزایش درصد وزنی و افزایش دما در حالت نانو سیال مغناطیسی، ضریب هدایت حرارتی نیز افزایش می یابد. در واقع با بالا رفتن درصد وزنی میزان ضریب هدایت حرارت نانو سیال مغناطیسی هم افزایش یافت که خواص فیزیکی خاص این گونه نانو سیالات به علت مغناطیسی شدن نانوذرات است که در درصد های وزنی بالاتر ضریب هدایت حرارتی را بیشتر افزایش می دهد [۱۴].

از طرفی دیگر در درصد های وزنی بالاتر خوش تشکیل می شود و باعث ته نشینی و کاهش میزان پایداری نانو سیالات می گردد. همان طور که می دانیم خوش ها مسیری با مقاومت حرارتی کمتر را برای عبور گرمای فراهم می آورند.

همچنین مقدار افزایش ضریب هدایت حرارتی با افزایش دما برای ذرات کوچک قابل ملاحظه تر است ولی اگر دما را به طور مداوم بالا ببریم بر روی خواص مغناطیسی و ساختار نانو ذرات مغناطیسی تاثیر منفی می گذارد. بنابراین افزایش دما و غلظت

لازم به ذکر است تمامی اعداد محاسبه شده با خطای ۰/۹۹۹۵ مورد بررسی قرار گرفته اند. در میان سه دمای درنظر گرفته شده ۲۵، ۳۵ و ۴۵ درجه سانتیگراد، دمای ۴۵ درجه بهترین نتایج داده های آزمایشگاهی ضریب هدایت حرارتی را حاصل کرد که در جدول ۴ نشان داده شده است. همان طور که در جدول ۴ نشان داده شده، بیشترین میزان هدایت حرارتی مربوط به نانو سیال مغناطیسی هیبرید اکسید آهن- نانو لوله کربنی برای درصد وزنی ۰/۳۰٪ با مقدار ۰/۹۴۰ W/m.K است. این میزان افزایش در مقایسه با کار دیگر پژوهشگران، بالاترین مقدار گزارش شده برای نانو سیال مغناطیسی اکسید آهن / آب است. [۱۳-۱۰]

جدول ۴ داده های آزمایشگاهی ضریب هدایت حرارتی نانو سیالات و نانو سیال مغناطیسی برای دمای بهینه ۴۵ درجه سانتیگراد

سیال / نانو سیال	درصد وزنی نانوذره	ضریب هدایت (W/m.K)	دمای بهینه (۴۵°C)
آب / MWNT+SDS (نانو سیال با ماده فعال سطحی)	.	۶۰/۹	
	۰/۱	۶۹۶/۰	
	۰/۱۵	۷۰۹/۰	
	۰/۲۰	۶۹۷/۰	
	۰/۳۰	۰/۷۲۰	
	۰/۱	۰/۸۷۱	
آب / FMWNT (نانو سیال عامل دار)	۰/۱۵	۰/۸۵۰	
	۰/۲۰	۰/۷۲۳	
	۰/۳۰	۰/۶۲۳	
	۰/۱	۰/۷۸۸	
	۰/۱۵	۰/۷۹۲	
آب / CNT-Fe ₂ O ₃ (نانو سیال مغناطیسی)	۰/۲۰	۰/۸۷۷	
	۰/۳۰	۰/۹۴۰	

بنابراین برای مقایسه، هر سه نمونه تهیه شده در سه دمای ۲۵، ۳۵ و ۴۵ در درصد وزنی ۳٪ در جدول ۵ مورد بررسی قرار گرفته اند.

۱۰.۳. بررسی هدایت حرارتی بر حسب دما

ضریب هدایت حرارتی در دمایها و کسرهای حجمی مختلف برای نانو سیالات با سورفکتانت، عاملدار و همین طور نانو سیالات مغناطیسی را برای سه دمای ۲۵، ۳۵ و ۴۵ درجه سانتیگراد اندازه‌گیری و با یکدیگر مقایسه شده اند که ابتدا جداول مربوط به آنها و در ادامه نمودار داده‌ها رسم شده است. در جداول زیر هم درصدهای وزنی به همراه دما و مقدار نسبت هدایت حرارتی که از تقسیم ضریب هدایت حرارتی نانو سیال بر سیال پایه بدست آمده، نمایش داده شده اند. با مقایسه سه روش آزمایش صورت گرفته نانو سیال مغناطیسی بهترین عملکرد حرارتی را نسبت به سیال پایه آب دارد که نشان می‌دهد با توجه به نظریه هانگ و همکارانش [۱۸] شکست خوشه‌های نانو ذرات آهن توسط ارتعاش فرا صوت به خوبی انجام شده و بر نیروهای قوی واندروالس مابین ذرات مغناطیسی غلبه شده تا باعث افزایش هدایت حرارتی در مقایسه با نسبت‌های روش عاملدار و استفاده از ماده فعال سطحی قرار دارد. برای این منظور قبل از اندازه‌گیری هدایت حرارتی نمونه‌ها برای پراکنده سازی مناسب و انجام فرایند ذکر شده به مدت ۲۰ دقیقه تحت توان ۱۰۰ وات در دمای اتاق فرایند اولتراسونیک انجام شده است. از طرفی دیگر این میزان افزایش نسبت هدایت حرارتی در نانو سیال مغناطیسی را می‌توان اینگونه توجیه کرد که سوسپانسیون‌های با تجمع فراکتالی افزایش بیشتری در ضریب هدایت حرارتی را نشان می‌دهند [۱۹].

در جداول ۷ تا ۹ مقادیر ضریب هدایت حرارتی که توسط دستگاه KD2 اندازه‌گیری شده برای هر کدام از سه روش استفاده شده به طور مجزا آورده شده است.

جدول ۷ داده‌های نانو سیال مغناطیسی با نسبت ضریب هدایت حرارتی نانو سیال به سیال پایه آب

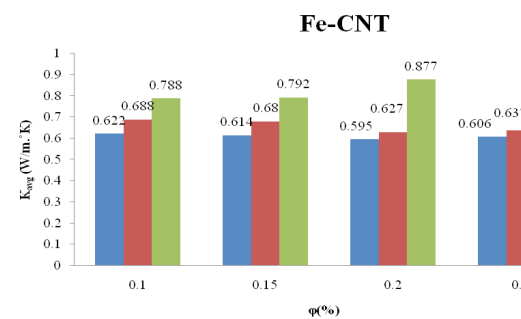
Fe-CNT [K(Nano fluid / K(Base fluid)]				
دما (°C)	%/۱۰	%/۱۵	%/۲۰	%/۳۰
۲۵	۱/۰۳۰	۱/۰۱۵	۱/۰۸۶	۱/۰۰۳
۳۵	۱/۱۳۱	۱/۱۱۸	۱/۱۹۷	۱/۰۴۷
۴۵	۱/۲۹۴	۱/۳۰	۱/۴۴	۱/۵۴۳

تأثیر منفی بر عملکرد هدایت حرارتی می‌گذارد. پس از بررسی هر یک از درصدهای وزنی به صورت مجزا، شرایط هدایت حرارتی نانو سیال مغناطیسی در جدول ۶ مورد ارزیابی قرار گرفت:

جدول ۶ داده‌های حالت نانو سیال مغناطیسی در سه دمای ۲۵، ۳۵ و ۴۵ درجه سانتیگراد برای هر چهار درصد وزنی ۰٪، ۱۵٪، ۲۰٪ و ۳۰٪

Fe-CNT (۰٪)	Fe-CNT (۱۵٪)	Fe-CNT (۲۰٪)	Fe-CNT (۳۰٪)	T(°C)
۶۲۲/۰	۰/۶۱۴	۰/۵۹۵	۰/۶۰۶	۲۵
۶۸۸/۰	۰/۶۸۰	۰/۶۲۷	۰/۶۳۷	۳۵
۷۸۸/۰	۰/۷۹۲	۰/۸۷۷	۰/۹۴۰	۴۵

نمودار ۲ تغییرات نانو سیال مغناطیسی برای چهار درصد وزنی ۰٪، ۱۵٪، ۲۰٪ و ۳۰٪ در سه دمای ۲۵، ۳۵ و ۴۵ درجه سانتیگراد مورد بررسی قرار گرفتند.



نمودار ۲ نمودار ضریب هدایت حرارتی برای هر چهار درصد وزنی ۰٪، ۱۵٪، ۲۰٪ و ۳۰٪ در حالت نانو سیال مغناطیسی در سه دمای ۲۵، ۳۵ و ۴۵ درجه سانتیگراد (W/m.K) ضریب هدایت حرارتی بر حسب φ (%)

همان طور که در نمودار مشاهده می‌شود برای نانو سیال مغناطیسی با افزایش دما و درصد وزنی ضریب هدایت حرارتی افزایش یافته که بیشترین میزان هدایت حرارتی در وضعیت ۳۰٪ درصد وزنی و در دمای ۴۵ درجه سانتیگراد رخ داده است. در غلظت‌های ۰٪ و ۳۰٪ با افزایش دما از ۳۵ به ۴۵، افزایش جهشی در ضریب هدایت حرارتی ایجاد شده است، علت این غیر خطی بودن افزایش هدایت حرارتی به خاطر کنش ایجاد شده بین ذرات است. از سویی دیگر سوسپانسیون‌ها با تجمع فراکتالی، افزایش بیشتری در ضریب هدایت حرارتی ایجاد می‌کند. نتایج مشابهی برای افزایش دما و درصد وزنی که موجب افزایش ضریب هدایت حرارتی می‌شود، در دیگر آزمایشات توسط چو، مینستا و تیموفیوا برای نانو سیال TiO_2 ، CuO ، Al_2O_3 هم گزارش شده است [۱۵-۱۷].

نوع نانو ذره و نیز ماهیت سیال پایه اشاره کرد. مشاهدات تجربی نشان می‌دهند که با افزایش درصد وزنی نانو ذرات عموماً هدایت حرارتی سیال رشد صعودی می‌کند [۲۱]. مکانیزم دیگری که بر افزایش ضریب هدایت حرارتی تاثیرگذار بوده حرکت براونی است که وابستگی زیادی با دمای سیال دارد. بنابراین مقدار افزایش ضریب هدایت حرارتی با دمای برای ذرات کوچکتر در ماهای بالاتر به مراتب بیشتر از افزایش هدایت حرارتی برای ذرات درشت تر است در دمای پایین حرکت براونی از اهمیت کمتری برخوردار بوده و لذا اختلاف افزایش ضریب هدایت حرارتی توسط ذرات کوچک تر و درشت تر کاهش پیدا می‌کند [۲۲-۲۳].

جدول ۱۰ مقادیر افزایش هدایت حرارتی برای چهار درصد وزنی در نظر گرفته شده برای بهترین حالت دمایی یعنی ۴۵ درجه سانتیگراد را نشان می‌دهد

جدول ۱۰ اثر دمای روی ضریب هدایت حرارتی نانو سیال مغناطیسی آب / CNT در دمای ۴۵ درجه سانتیگراد طبق داده‌های آزمایشگاهی

افزایش هدایت حرارتی %	درصدهای وزنی نانو سیال مغناطیسی
۲۹/۴.	%/۱۰
۳۰.	%/۱۵
۴۴	%/۲۰
۵۴/۳	%/۳۰

جدول ۱۱ میزان افزایش ضریب هدایت حرارتی نانو سیال مغناطیسی به سیال پایه آب را نشان می‌دهد که طبق فرمول زیر محاسبات جدول انجام شده است:

(۶)

$$\text{درصد افزایش هدایت حرارتی} = \frac{\text{سیال پایه} - \text{نانو سیال مغناطیسی}}{\text{سیال پایه}}$$

همان طور که مشاهده شد برای نانو سیال مغناطیسی ساخته شده با افزایش دما میزان هدایت حرارتی هم افزایش یافته است که با یافته های تجربی تبیین شده که اشاره دارد با افزایش دما اثر نانو ذرات بر افزایش هدایت حرارتی نیز به شدت افزایش می یابد، مطابقت دارد [۲۴]. لذا با توجه به مغناطیسی بودن نانو ذرات،

جدول ۸ داده‌های نانو سیال عاملدار با نسبت ضریب هدایت حرارتی نانو سیال به سیال پایه آب

FUNCTIONAL [K(Nano fluid / K(Base fluid)]				
دما (°C)	%/۱۰	%/۱۵	%/۲۰	%/۳۰
۲۵	.۹۴۵	۱/۰۱۱	۱/۰۲۰	.۹۹۸
۳۵	.۹۱۴	۱/۰۱۸	۱/۲۳۰	.۹۹۷
۴۵	۱/۴۳۰	۱/۳۹۶	۱/۲۰۳	۱/۰۲۲

جدول ۹ داده‌های نانو سیال با ماده فعال سطحی با نسبت ضریب هدایت حرارتی نانو سیال به سیال پایه آب

SURFACTANT (SDS) [K(Nano fluid / K(Base fluid)]				
دما (°C)	%/۱۰	%/۱۵	%/۲۰	%/۳۰
۲۵	۱/۰۴۳	.۹۷۸	.۹۰۵	.۹۵۵
۳۵	۱/۱۵۱	.۹۵۲	۱/۰۵۵	۱/۰۰۸
۴۵	۱/۱۴۲	۱/۱۶۴	۱/۱۴۴	۱/۱۸۲

نتایج نشان می‌دهد که درصد بهبود هدایت حرارتی نانو سیالات مغناطیسی به مانند نانو سیالات عموماً در دمای بالا بیشتر است و به طور کلی با افزایش دما و درصد وزنی (غلظت) میزان ضریب هدایت حرارتی هم افزایش یافته که دلیل این افزایش به این صورت است که با افزودن ذرات جامد نانومتری از قبیل ذرات نانومتری فلزی و اکسیدی و یا نانولوله های کربنی به یک سیال، افزایش قابل توجه هدایت حرارتی مخلوط نسبت به سیال پایه ایجاد شد. از طرفی با توجه به تحقیق پاول کبلینسکی و همکارانش، فلزات در شکل جامد خود دارای هدایت حرارتی بسیار بالایی نسبت به سیالات هستند، از آنجایی که نانو ذرات مغناطیسی به عنوان ماده جامد درون سیال قرار گرفته اند و از طرفی دیگر چون هدایت حرارتی سیالات فلزی نیز بسیار بیشتر از سیالات غیرفلزی است در نتیجه سیالات حاوی ذرات جامد معلق شده دارای هدایت حرارتی بیشتری نسبت به سیال خالص است که نتایج حاصل شده طبق جدول و آزمایشات انجام شده در این پژوهش مطابقت مناسبی با نظریه این دانشمندان دارد [۲۰].

از سویی دیگر هدایت حرارتی نانو سیال به چندین پارامتر بستگی داشته و از آنها متاثر است. از جمله این پارامترها می‌توان به غلظت ذرات نانو، دما، pH سوسپانسیون، اندازه نانوذرات،

مهمترین نتایج کلیدی در این تحقیق به شرح زیر می‌باشند:

- با افزایش غلظت نانوذرات میزان ضریب هدایت حرارتی نانوسیال مغناطیسی اکسید آهن / آب افزایش می‌یابد. به طوری که میزان افزایش هدایت حرارتی نانوسیال با درصدهای وزنی 10% ، 15% ، 20% ، 20% و 30% از نانوسیال مغناطیسی نسبت به سیال پایه در دمای 45°C درجه سانتیگراد به ترتیب $29/4$ ، $30/3$ ، $44/4$ و $54/3$ درصد، می‌باشد.
- در کار حاضر بالاترین میزان افزایش ضریب هدایت حرارتی برای نانوسیال مغناطیسی اکسید آهن / آب با غلظت 30% درصد وزنی برابر $54/3$ درصد در دمای 45°C درجه سانتیگراد بوده است که این میزان افزایش در مقایسه با کاردیگرمحققان، بالاترین مقدار گزارش شده برای نانوسیال مغناطیسی اکسید آهن / آب تاکنون می‌باشد.
- میزان هدایت حرارتی نانوسیال مغناطیسی با افزایش دما، افزایش می‌یابد برای نانو ذرات در محدوده دمای 25 تا 45°C درجه سانتی گراد به عنوان نمونه غلظت حجمی 10% درصد، میزان افزایش در دمای 35°C ، 25°C و 45°C درجه سانتی گراد به ترتیب $13/1$ و $29/4\%$ درصد و همچنین برای نانو ذرات در محدوده دمای 25 تا 45°C درجه سانتی گراد و غلظت حجمی 20% درصد، میزان افزایش در دمای 35°C ، 25°C و 45°C درجه سانتی گراد به ترتیب $19/7$ ، $8/6$ و $44/4\%$ درصد بوده است.

می‌توان نتیجه گرفت که با مغناطیسی کردن نانو ذرات درصد افزایش ضریب هدایت حرارتی به میزان قابل توجهی بهبود می‌یابد. در جدول ۱۰ به صورت تفکیک شده برای هر درصد وزنی و سه دمای در نظر گرفته شده، افزایش درصد هدایت حرارتی نشان داده شده، به عنوان نمونه برای $1/10\%$ درصد وزنی نانو سیال مغناطیسی در دمای 45°C درجه سانتیگراد میزان افزایش هدایت حرارتی $29/4\%$ نسبت به سیال پایه مشاهده شد. با افزایش غلظت نانوذرات میزان ضریب هدایت حرارتی نانوسیال مغناطیسی اکسید آهن / آب افزایش می‌یابد. به طوری که میزان افزایش هدایت حرارتی نانوسیال با درصدهای وزنی 10% ، 15% ، 20% و 30% از نانوسیال مغناطیسی نسبت به سیال پایه در دمای 45°C درجه سانتیگراد به ترتیب $29/4$ ، $30/3$ ، $44/4$ و $54/3$ درصد است. قابل ذکر است میزان غلظت نانوذرات اکسید آهن در سیال پایه آبی باید بهینه شود. زیرا در غلظت‌های بالاتر از مقدار بهینه، نانوذرات کلوخه شده و باعث عدم پایداری نانوسیال و افت کارآیی مبدل حرارتی می‌شوند. بنابراین در روش نانو سیال مغناطیسی به دلیل اشباع شدن ذرات مغناطیسی و عدم افزایش هدایت حرارتی در غلظت‌های بالاتر از $3/0$ درصد وزنی، مقدار بهینه $3/0$ درصد وزنی در نظر گرفته شد.

۴. نتیجه‌گیری

نانوفناوری یکی از فناوری‌های کلیدی و تأثیرگذار در افزایش راندمان حرارتی دستگاهها و تجهیزات تبادل گرما و سرما و همچنین کاهش مصرف انرژی در آنها می‌باشد. نانوذرات هیبرید اکسید آهن-نانولوله کربنی به دلیل ابعاد نانومتری، مساحت سطح ویژه بالایی داشته و فعالیت سطحی قوی تر نسبت به مواد با ابعاد میکرو و معمولی دارد. لذا حضور آنها در سیال پایه به طور قابل ملاحظه‌ای باعث افزایش ضریب هدایت حرارتی می‌شود. در این تحقیق سه نوع نانوسیال طراحی و ساخته شد. نانو سیال عاملدار به روش دو مرحله‌ای، نانو سیال با ماده فعال سطحی و نانو سیال مغناطیسی به روش تک مرحله‌ای در سیال پایه آبی ساخته شد. اثر پارامترهای مختلف شامل درصد وزنی و اندازه نانوذرات، دما، مقدار درصد وزنی ماده فعال سطحی و مغناطیسی شدن نانو ذرات بر میزان ضریب هدایت حرارتی نانوسیال‌های آماده شده مورد بررسی قرار گرفت.

مراجع

- [1] U. Ojha, S. Das, and S. Chakraborty, "Stability, pH and viscosity relationships in zinc oxide based nanofluids subject to heating and cooling cycles," *J. Mater. Sci. Eng.*, vol. 4, no. 7, pp. 24–29, 2010.
- [2] H. Masuda, A. Ebata, and K. Teramae, "Alteration of thermal conductivity and viscosity of liquid by dispersing ultra-fine particles. Dispersion of Al₂O₃, SiO₂ and TiO₂ ultra-fine particles," 1993.
- [3] Q. Li, Y. Xuan, and J. Wang, "Experimental investigations on transport properties of magnetic fluids," *Exp. Therm. Fluid Sci.*, vol. 30, no. 2, pp. 109–116, 2005.
- [4] J.X. Wang , H.T. Zhu, C.Y. Zhang, S.B. Chang, "Preparation of CuO nanoparticles under ultrasonic and microwave irradiation", 14th Chinese Advanced Ceramics Conference, Luoyang, China, 2006.
- [5] W. Yu, H. Xie, L. Chen, and Y. Li, "Enhancement of thermal conductivity of kerosene-based Fe₃O₄ nanofluids prepared via phase-transfer method," *Colloids Surfaces A Physicochem. Eng. Asp.*, vol. 355, no. 1, pp. 109–113, 2010.
- [6] K. Parekh and H. S. Lee, "Magnetic field induced enhancement in thermal conductivity of magnetite nanofluid," *J. Appl. Phys.*, vol. 107, no. 9, p. 09A310, 2010.
- [7] W. Yu, H. Xie, L. Chen, and Y. Li, "Enhancement of thermal conductivity of kerosene-based Fe₃O₄ nanofluids prepared via phase-transfer method," *Colloids Surfaces A Physicochem. Eng. Asp.*, vol. 355, no. 1, pp. 109–113, 2010.
- [8] A. Nasiri, M. Shariaty-Niasar, A. Rashidi, A. Amrollahi, and R. Khodafarin, "Effect of dispersion method on thermal conductivity and stability of nanofluid," *Exp. Therm. fluid Sci.*, vol. 35, no. 4, pp. 717–723, 2011.
- [9] Y. Hwang, J.-K. Lee, J.-K. Lee, Y.-M. Jeong, S. Cheong, Y.-C. Ahn, and S. H. Kim, "Production and dispersion stability of nanoparticles in nanofluids," *Powder Technol.*, vol. 186, no. 2, pp. 145–153, 2008.
- [10] V. Bashtovoy and B. M. Berkovsky, "Magnetic fluids and applications handbook," *Ser. Learn. Mater. New York Begell house*, 1996.
- [11] A. Gavili, F. Zabihi, T. D. Isfahani, and J. Sabaghzadeh, "The thermal conductivity of water base ferrofluids under magnetic field," *Exp. Therm. Fluid Sci.*, vol. 41, pp. 94–98, 2012.
- [12] L. S. Sundar, M. K. Singh, and A. C. M. Souza, "Investigation of thermal conductivity and viscosity of Fe₃O₄ nanofluid for heat transfer applications," *Int. Commun. Heat Mass Transf.*, vol. 44, pp. 7–14, 2013.
- [13] Y. Ding, H. Alias, D. Wen, and R. A. Williams, "Heat transfer of aqueous suspensions of carbon nanotubes (CNT nanofluids)," *Int. J. Heat Mass Transf.*, vol. 49, no. 1, pp. 240–250, 2006.
- [14] A. Gavili, F. Zabihi, T. D. Isfahani, and J. Sabaghzadeh, "The thermal conductivity of water base ferrofluids under magnetic field," *Exp. Therm. Fluid Sci.*, vol. 41, pp. 94–98, 2012.
- [15] B. C. Pak and Y. I. Cho, "Hydrodynamic and heat transfer study of dispersed fluids with submicron metallic oxide particles," *Exp. Heat Transf. an Int. J.*, vol. 11, no. 2, pp. 151–170, 1998.
- [16] E. Timofeeva, A. Gavrilov, J. McCloskey, Y. Tolmachev, S. Sprunt, L. Lopatina, and J. Selinger, "Thermal conductivity and particle agglomeration in alumina nanofluids: Experiment and theory," *Phys. Rev. E*, vol. 76, no. 6, p. 061203, 2007.
- [17] H. A. Mintsa, G. Roy, C. T. Nguyen, and D. Doucet, "New temperature dependent thermal conductivity data for water-based nanofluids," *Int. J. Therm. Sci.*, vol. 48, no. 2, pp. 363–371, 2009.
- [18] K. S. Hong, T.-K. Hong, and H.-S. Yang, "Thermal conductivity of Fe nanofluids depending on the cluster size of nanoparticles," *Appl. Phys. Lett.*, vol. 88, no. 3, p. 31901, 2006.
- [19] S. Kakac and A. Pramanjaroenkij, "Review of convective heat transfer enhancement with nanofluids," *Int. J. Heat Mass Transf.*, vol. 52, no. 13, pp. 3187–3196, 2009.
- [20] P. Keblinski, J. A. Eastman, and D. G. Cahill, "Nanofluids for thermal transport," *Mater. today*, vol. 8, no. 6, pp. 36–44, 2005.
- [21] S. K. Das, S. U. Choi, W. Yu, and T. Pradeep, *Nanofluids: science and technology*. John Wiley & Sons, 2007.
- [22] P. K. Singh, P. V Harikrishna, T. Sundararajan, and S. K. Das, "Experimental and numerical investigation into the hydrodynamics of nanofluids in microchannels," *Exp. Therm. Fluid Sci.*, vol. 42, pp. 174–186, 2012.
- [23] H. E. Patel, T. Sundararajan, and S. K. Das, "An experimental investigation into the thermal conductivity enhancement in oxide and metallic nanofluids," *J. Nanoparticle Res.*, vol. 12, no. 3, pp. 1015–1031, 2010.
- [24] S. K. Das, N. Putra, P. Thiesen, and W. Rotzel, "Temperature dependence of thermal conductivity enhancement for nanofluids," *J. Heat Transfer*, vol. 125, no. 4, pp. 567–574, 2003.

Preparation and Characterization of Nanofluids Containing Carbon Nanotubes Modified Using Inorganic Acids, Sodium Dodecyl Sulfate and Magnetic Nanoparticles Fe_2O_3 and Comparison of Their Thermal Conductivity Coefficient

M.H. Aghabozorg¹ | A.M. Rashidi^{*2}

1. Department of Mechatronics Engineering, Research and Science Azad University, Kermanshah, Iran

2. Nanotechnology Research Center, Research Institute of Petroleum Industry, Tehran, Iran

Abstract

In this study for comparing the thermal conductivity of magnetic nanofluids with other nanofluids ,three sample nanofluids prepared. Functionalized nanofluids, nanofluids with surface active substance and magnetic nanofluids using hybrid carbon nanotube-iron oxide for weight percentages under 1% in distilled water as a base fluid. First functionalized nanofluids, multi-walled carbon nanotubes functionalized with carboxyl functional group was pickling, then preparing nanofluids with Sodium dodecyl sulfate (SDS) surfactant then magnetic nanoparticles was synthesized with hybrid Fe2O3-CNT for the first time .The thermal conductivity coefficient were measured by KD2pro device. The results showed that with enhancement of temperature and weight percentage the thermal conductivity coefficient were increased. magnetic nanofluids showed higher thermal conductivity in comparison with functionalized and nanofluids with surfactant SDS.

Keywords

Magnetic Nanofluids, Thermal conductivity coefficient, Heat transfer, Iron oxide nanoparticles, Hybrid.